Vol. 14 No. 4 Dec. 2006

## 肯德可克金钴铋矿石选矿实验

## 王春波,甘金莲

(青海省有色矿勘院测试中心,青海 西宁 810007)

摘 要:采用预处理—浸出工艺技术,解决了该矿床半氧化矿石中 Au、Ag、Co、Ni、Cu、Mo、Bi 的选矿技术,使 Au、Ag、Co、Ni、Cu、Mo 的浸出率达90%以上,Bi 的浸出率85%以上。

关键词: 肯德可克; 选矿

中图分类号:TD863

文献标识码:A

文章编号:1008-858X(2006)04-0051-05

## 0 前 言

随着社会的进步和科技发展,人类对矿产资源的需求越来越多。已探明易选矿石和浅部矿床的后备储量越来越少,某些矿山已处于"等米下锅"状态。再加上矿产资源具有不可再生性,这就使难以利用的矿产合理开发技术问题提到了日程,尤其金、多金属矿产的利用尤为突出。

近年来在东昆仑矿带内发现的热水沉积型 肯德可克多金属矿床成矿地质环境复杂,矿化 类型多样,矿化元素均达到了工业品位;矿石组成十分复杂,具有自然元素多、成矿元素多、低硫和多期叠加的特点。利用已有的工艺技术难以使该矿床矿石得到较好的利用,阻碍了该地区地质找矿和矿山建设。所以,解决该矿床矿石的合理综合开发技术十分迫切。在这样的背景下,2001年10月本项目组经过9个月的研究和实验,建立了预处理一浸出工艺技术,解决了该矿床半氧化矿石中 Au、Ag、Co、Ni、Cu、Mo、Bi的选矿技术,使 Au、Ag、Co、Ni、Cu、Mo 的浸出率

达90%以上,Bi 的浸出率85%以上,同时,环保 达标。应用该项技术选矿,每吨矿石可获产值 1300元以上,获利800元/吨以上。这一成果的 取得,可使肯德可克地区多金属矿石得到较好 开发利用。

## 1 试验样品的采取和制备

## 1.1 试验样品的采取

样品主要采自矿区4 102 m和4 062 m高程的坑道工程中,距地表深度分别为20 m和60 m。样品是由坑道工程中不同品位的多处矿体上采集后混合而成,矿石类型主要为氧化程度较高的矽卡岩型矿石,具有一定的代表性。但1号样钴品位偏高,3 件样品的金品位均偏低,样品的质量分别为200 kg、800 kg、716 kg。各样品分析结果如表1。

## 1.2 试验样品的制备

分别对各样品进行破碎与加工,然后配矿,加工流程见图 1。

表 1 矿石的化学成分分析结果

Table 1 (

Compositi	on of th	ne miner	al ores				w/%	
S	As	SiO <sub>2</sub>	$Al_2O_3$	MaO	CaO	Au	Aα	

化学成分	Bi	Ni	Co	Мо	S	As	$SiO_2$	$Al_2O_3$	MgO	CaO	Au	Ag
样品1	1.30	0.27	0.22	0.14	0.44	1.02	57.63	7.88	3.48	9.51	2.46	27.80
样品2	0.66	0.20	0.07	0.14	0.66	1.00					3.50	20.00
样品3	0.94	0.24	0.072	0.16	0.68	0.90					3.48	15.30

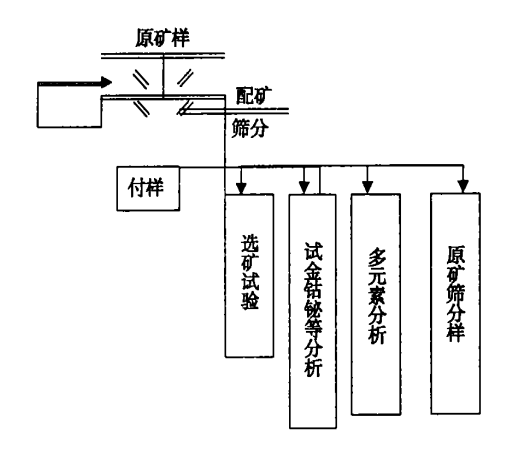


图 1 实验样品制备流程图

Fig. 1 Flowchart for preparation of experiment sample

#### 2 不同选矿试验

#### 2.1 单一浮选试验

在充分考虑矿石的组成和矿石矿物构成特 点后,进行了探索性选矿试验。在探索性选矿 实验过程中进行了单独浮选硫化物试验、浮选 氧化物试验、浮选硫化物+氧化物的试验,试验 结果表明浮选不能达到试验要求;接着进行了 先对原矿进行硫化处理,再用浮选硫化物的药 剂十浮选氧化物的药剂进行浮选试验,不同粒 度矿样进行氧化处理后,再用浮选氧化物的氧 化十浮选试验将矿样氧化后进行氧化矿的浮选 试验,试验结果表明其浮选效率不仅没有显著 改善,反而比前浮选效率更差。

由于该矿石含有大量的绿泥石矿物,其经 磨矿后粘土成分较多,而粘土又易粘附于气泡, 致使充气浮选时粘土于精矿一同被刮出,从而 影响了浮选效率。针对上述情况,做如下实验:

土的影响因素可暂不考虑。

由于粗粒矿石和细粒矿石具有不同的物化 性质,它们的浮游行为与一般粒度矿石不同,因 此进行不同粒度下钴的浮选试验。试验结果表 明尽管精矿中钴的品位最高能达到原矿品位几 倍,但回收率太低,不能达到工业选矿要求,故 粒度因素暂不予考虑。对 Mo 的浮选也不能达 到工业要求。

综合上述浮选试验,可以得出结论:此矿石 不适宜讲行浮选。

单一浮选探索性试验结果进一步证实了物 质组成的研究结果——该矿无论是化学成分还 是矿物组成都比较复杂。目的矿物嵌布粒度比 较细,并且,该矿石氧化程度较高,单一浮选难 以取得理想的回收指标。鉴于该矿有用矿物与 脉石矿物比重相差大,因此,可以考虑通过重选 的方法预先回收一部分比重较大的有用矿物, 然后再对尾矿进行浮选,进一步回收其中有用 矿物。

#### 2.2 重选试验

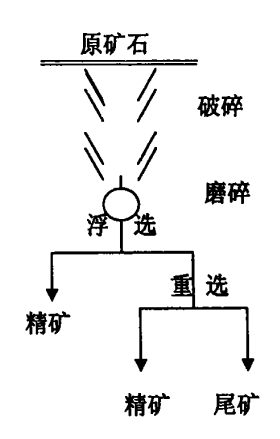


图 2 重选试验流程

Fig. 2 Flowchart for gravity separation

消除粘土影响后。浮游效率仍无明显提高Etectionic Publishing House. All rights reserved. http://www.cnl

依据矿物密度采用重选的方法将矿石中的 矿物富集,由于所用矿石多为金属矿石,所以采 用浮选一重选流程。针对浮选后的尾渣再重选 回收尾矿中的残留重矿物,以求获较高回收率, 试验流程如图 2, 结果见表 2。结果表明, 重选 法不适合此矿石的选矿。

基于对混合精矿质量的要求,综合考虑

Au、Bi、Co 3 种金属元素的品位指标, 本试验将 摇床精矿和摇床中矿以及浮选精矿的大混合作 为重选一浮选联合流程的混合精矿。将摇床精 矿、摇床中矿以及浮选精矿分别按其产率大小 配制混合精矿,其计算指标如表3所示,混合精 矿多组分分析结果见表 4。

表 2 重选一浮选闭路试验结果

Table 2 Experimental results for the closed circuit gravity separation and flotation process

	•			0		•	
文日夕仏	÷÷10/ .	品位/%			回收率/%		
产品名称	产率/% -	Au *	Bi	Co	Au	Bi	Со
重选(精矿+中矿)	6.04	26.07	10.13	1.79	64.06	50.47	52.64
浮选精矿	2.44	19.46	6.37	1.34	19.29	11.42	14.67
混合精矿	8.84	24.24	9.09	1.66	83.35	61.89	67.31
浮选尾矿	91.16	0.45	0.57	0.080	16.65	38.11	32.69
原矿	100.00	2.60	1.28	0.22	100.00	100.00	100.00

<sup>\*</sup> 其中 Au 的含量,单位为 g/t

表 3 混合精矿计算指标

Table 3 Calculation indices of the mixed fine ore

立日夕知	产率/% -	品位/%				
产品名称	厂华//0	Au *	Bi	Co		
摇床精矿	3.96	40.08	15.37	2.74		
摇床中矿	2.44	3.32	1.63	0.24		
浮选精矿	2.44	19.46	6.37	1.34		
混合精矿	8.84	24.24	9.09	1.66		

<sup>\*</sup> 其中 Au 的品位单位为 q/t

表 4 混合精矿多组分分析结果

Table 4 Contents of the various components

in the mixed fine ore

组分	Au	Ag	As	Bi	Co	Мо
w/%	26.52	212	9.00	8.85	1.71	0.86
组分	Ni	S	$SiO_2$	MgO	CaO	$Al_2O_3$
w/%	2.19	4.91	34.87	3.10	9.25	5.30

<sup>\*</sup>其中Au、Aq的品位单位为q/t

#### 2.3 推荐选矿工艺流程试验

由以上探索性试验,确定最佳工艺条件和 药剂制度,推荐工艺流程如图3。试验条件如 下:

①磨矿细度为 200 # 诵讨率92%;

## 用量10 kg/t;

③浸出 Cu、Co、Ni 阶段: 试剂 B 初始用量 756 kg/t(循环使用);时间96 h;

④浸出 Mo、Bi 阶段: 试剂 B 初始用量 36 kg/t(循环使用); 试剂 C 用量12 kg/t; 时间

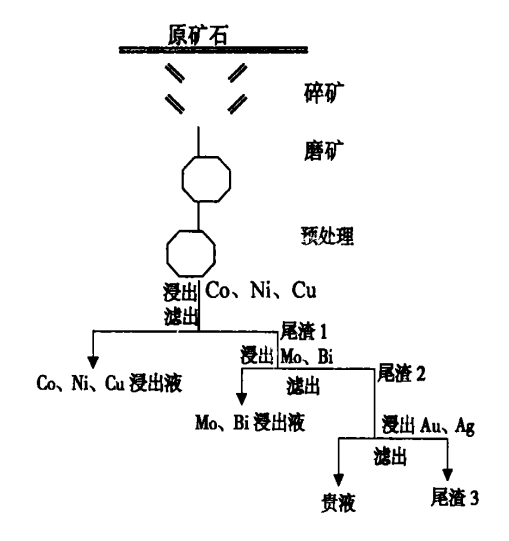


图 3 推荐工艺流程

Fig. 3 Recommended process flow for treatment of the crude ore

⑤浸出 Au、Ag 阶段: 试剂 B 初始用量 70 kg/t(循环使用); 试剂 D 用量8 kg/t; 时间

②培烧阶段:温度600°C;时间2h;试剂A Publishing House. All rights reserved. http://www.cnl

## 按上述工艺流程和试验条件取1 kg样品进 行试验,结果见表 5。

表 5 千克级试验结果

	Table 5	Experimental	results or	n a	kilogram-scale
--	---------	--------------	------------	-----	----------------

 物质名称		Cu	Со	Ni	Мо	Bi	Au*	Ag *
原矿	`品位/%	0.02	0.07	0.20	0.14	0.66	3.5	20.0
日沐 1	品位/%	0.001 576	0.002 562	0.019 56				
尾渣1	回收率/%	92.12	96.34	90.22				
良味り	品位/%				0.012 28	0.074 84		
尾渣 2	回收率/%				91.23	88.66		
良味り	品位/%						0.27	1.72
尾渣 3	回收率/%						92.3	91.4

<sup>\*</sup> 其中 Au、Ag 的含量单位 g/t

从千克试验结果可以看出,推荐工艺流程 和药剂制度达到了工业要求。

## 3 选定工艺的特点和经济效益

采用非氰化物浸取 Au、Ag 的工艺流程, 杜绝了氰化物污染的可能性。对于中温培烧中产生的少量有害气体采用自然制冷综合回收的 工艺流程,做到无危害气体排放。浸出液采用 循环回收使用的工艺流程,做到零排放。尾渣 采用板框压滤后堆放,对植被、环境危害较小。

该工艺不仅具有上述特点,而且经济效益 良好。每吨矿石产品产值见表 6,每吨生产成 本见表 7。

表 6 1 吨矿石产品产值

Table 6 Production values in terms of one ton of crude ore

わぶん	平均品位	回收率	单价	人宏一
名称	1%	1%	(万元/吨)	金额元
Au	7.65(g/t)	90	81 元/克	557
Ag	64(g/t)	90	1.3 元/克	74
Cu	0.34	90	4	122
Co	0.07	90	66	415
Ni	0.2	90	6.4	115
Mo	0.14	90	6	74
Bi	0.64	85	0.08	4
		合计		1361

表7 加工1 t矿石成本

Table 7 Production costs in terms of one ton of crude ore

序号	成本项目	单耗	单价	成本费
一一一	双平坝日	$/\mathrm{kg}{ullet}\mathrm{t}^{-1}$	(元/吨)	(元/吨)
1	碎矿	Ü		20
2	磨矿			20
3	培烧			30
4	试剂 A	10	4 000	40
5	试剂 B	250	400	100
6	试剂 C	12	400	4.8
7	试剂 D	8	10 000	80
8	其它			200
9	合计			495

## 4 结 论

本项目针对东昆仑多金属矿石经过<sup>9</sup>个多月,系统研究试验,其主要研究结果归纳如下:

肯德可克矿床为一个 Fe、Au、Bi、Co、Pb、Zn、Ni、Cu、Mo、Ag等多矿种矿化叠加矿床,具有一矿变多矿综合利用意义特点;矿区内的矿石经初步可选性试验,表明可为工业所用;各项选别指标符合规范要求,经过探索性试验后所确定的预处理一分段浸取工艺流程适合肯德可克地区半氧化矿石选矿,使矿石中 Au、Ag、Co、Ni、Cu、Mo 回收率达90%以上,Bi 回收率85%以上。也适用原生矿石的选矿,技术可行,效益可观,环保达标。

索新的碎矿、磨矿方法,预处理添加剂的选择尚待完善,矿石中尚存的 Mo、Ni、Fe、Sb、Te、Se、Pb和 Zn的回收应进一步研究。

### 参考文献:

- [1] 胡为柏·浮选[M]·北京:冶金工业出版社,1989.
- [2] 王常任·磁电选矿[M]·北京:冶金工业出版社,1986.
- [3] 孙玉帛·重力选矿[M]·北京:冶金工业出版社,1993.
- [4] 选矿设计手册编委会. 选矿设计手册[M]. 北京: 冶金工

- 业出版社,1988.
- [5] 黄礼煌. 化学选矿[M]. 北京: 冶金工业出版社, 1990.
- [6] 黄礼煌·金银提取技术[M]·北京:冶金工业出版社, 1995
- [7] 东北化工学院分析化学教研组·分析化学[M]·北京:高等教育出版社,1989.
- [8] 大连理工大学无机化学教研组·无机化学(上、下册) [M]·北京:高等教育出版社,1990.
- [9] 胡熙庚·有色金属硫化矿选矿[M]·北京:冶金工业出版 社,1987.

## Study on Treatment of the Au-Co-Bi Mineral Ore of Kendekeke

WANG Chun-bo, GAN Jin-lian

(The Analysis Center, of Qinghai Nonferrous Metals Survey, Xining 810007, China)

Abstract:By using a pretreatment-leaching technique, good separation of Au, Ag, Co, Ni, Cu, Mo, and Bi in the semi-oxidized ore from the Kendekeke mineral deposit was achieved. The leaching rates of Au, Ag, Co, Ni, Cu, and Mo were all higher than 90%, whereas the one for Bi is over 85%.

Key words: Kendekeke; Mineral separation

(上接第37页)

# Electrodeposition of Ce-Sm-Co Film in Acetamide-Urea-NaBr Melt System

GUO Cheng-yu, WANG Jian-chao, CHEN Bi-qing (Department of Chemistry, Qinghai Normal University, Xining 810008, China)

Abstract: The cyclic voltammetry method was used to study the behavior of  $\operatorname{Co}^{2^+}$  on  $\operatorname{Cu}$  electrodes in acetamide urea NaBr (AUS) melt at  $353~\mathrm{K}$ . Electroreduction of  $\operatorname{Co}^{2^+}$  to metallic Co is irreversible in one step. The charge transfer coefficient  $\alpha$  and diffusivity were determined to be  $0.25~\mathrm{and}~3.24\times10^{-6}~\mathrm{cm}^2~\mathrm{s}^{-1}$ , respectively. While  $\operatorname{Ce}(\mbox{\footnote{II}})$  and  $\operatorname{Sm}(\mbox{\footnote{II}})$  cannot be directly reduced to  $\operatorname{Ce}$  and  $\operatorname{Sm}$ , they can be inductively codeposited with  $\operatorname{Co}^{2^+}$ . The amorphous  $\operatorname{Ce}$ -Sm-Co alloy films were obtained by potentiostatic electrolysis. The amount of  $\operatorname{Ce}$  and  $\operatorname{Sm}$  grows with increasing cathodic overpotential, the molar ratios of  $n(\operatorname{Ce}(\mbox{\footnote{II}}))$ ;  $n(\operatorname{Sm}(\mbox{\footnote{II}}))$ ;  $n(\operatorname{Sm}(\mbox{\footnote{II}}))$ ;  $n(\operatorname{Sm}(\mbox{\footnote{II}}))$ ; and the electrolysis time. The maximum amount of  $\operatorname{Ce}$  in the alloy film reached to 47.32% (wt) and 47.98% (wt) for  $\operatorname{Sm}$ , in the tested range.

Key words: Acetamide-urea-NaBr melt; Electroreduction; Inductive codeposition; Ce-Sm-Co alloy film